

بررسی تعداد ذرات ثانویه بهمن های هوایی ناشی از پرتوهای گاما مای به غایت پرانرژی

شاه مرادی، امیر^۱ بهمن آبادی، محمود^۱ صمیمی، جلال^۱

^۱ دانشگاه صنعتی شریف
خرداد ۱۳۸۶

چکیده

اثر *LPM* (*Landau-Pomeranchuk-Migdal*) که قبلا برای الکترون ها در شتابدهنده هایی همچون *SLAC* در محیط های بسیار چکال تایید شده، برای ذرات ثانویه ی بهمن های هوایی ناشی از پرتوهای گاما مای به غایت پرانرژی (*EHE*) بررسی میشود. می توان نشان داد که با افزایش انرژی پرتو گاما مای فرودی بر جو زمین، کاهش سطح مقطع تولید زوج ذره میون بسیار کمتر از کاهش سطح مقطع تولید زوج الکترون است و نسبت این دو سطح مقطع از یک انرژی آستانه ویژه برای هر محیط مادی، به طور ناگهانی افزایش می یابد. این پدیده همچنین می تواند توضیحی برای محتوا میونی زیاد مشاهده شده در بهمن های هوایی که از سمت *CYG X-3* در دهه هشتاد میلادی رصد شده اند باشد. با در نظر گرفتن برهمکنش میدان مغناطیسی زمین (*GMF*) با پرتوهای گاما مای به غایت پرانرژی می توان نشان داد که تحت شرایط ویژه ای اثر *GMF* با تبدیل یک پرتو گاما مای *EHE* به باریکه ای از پرتوهای گاما مای کم انرژی، مانع حضور اثر *LPM* در اندرکنش های بهمن های هوایی می شود.

پیشگفتار

یکی از معیارهای مهم در تشخیص انواع بهمن های هوایی و نوع ذره ای که آغازگر بهمن است، محتوا میونی بهمن های هوایی میباشد، که عبارت است از نسبت تعداد میون های یک بهمن به تعداد الکترون های آن. بر طبق محاسبات انجام شده توسط گروه های مختلف^{۱ و ۲ و ۳}، معلوم شده است که محتوا میونی بهمن هایی که توسط پرتوهای گاما ایجاد شده اند، (بهمن های گاما)، کمتر از 0.1 محتوا میونی بهمن های هادرone است. بنابراین این پارامتر می تواند معیار خوبی برای تشخیص نوع ذره ای آغازگر بهمن باشد. با این حال برخلاف نتایج نظری، در اوایل دهه ۸۰ میلادی چند گروه به طور مستقل رصد هایی را توسط آرایه های زمینی و زیرزمینی رصد بهمن های گستردۀ ی هوایی (*EAS*) انجام دادند که نتایج آنها ظاهرا متناقض با نتایج نظری بدست آمده از فیزیک ذرات است. سرآغاز این گزارش ها، رصد هایی است که در طول سالهای ۱۹۷۵ تا ۱۹۸۲ در راستای سحابی خرچنگ انجام شد^۴. این گروه در راستای خرچنگ بهمن هایی را مشاهده کردند که محتوا میونی کا هیده ای در حدود 0.6 محتوا میونی بهمن های هادرone داشتند. رصدخانه این گروه در عمق 1200 gr/cm^2 اتمسفر قرار دارد و کمینه زاویه ی سرسوی خرچنگ برای آن 29.6° است. نکته ی مهم در مشاهدات این گروه آن است که بیشترین شار ذرات در کمترین زاویه ی سرسوی خرچنگ مشاهده شده و در زوایای زیاد (و در نتیجه عمق های بیشتر جوی) شار قابل ملاحظه ای ثبت نشده است. گرچه با توجه به فاصله ی *Crab* که تقریبا 2 kPc است، میتوان نتیجه گرفت که ذره ای آغازگر باید گاما و یا یک ذره ای خنثی باشد، این گروه تاکید خود را بر گاما به عنوان ذره ای آغازگر می گذارد. مدت کوتاهی

بعد از این گزارش، گروه Kiel در بررسی داده های رصدی خود در طول سال های 1976 تا 1980، شار اضافی را از جانب دوتایی CYG-X3 مشاهده می کند⁵ که محتوای میونی آنها قابل مقایسه با محتوای میونی بهمن های هادرونی و در حدود 0.8 آنهاست. آشکارسازهای این گروه، در ارتفاع صفر از سطح دریا و در عرض جغرافیایی 54.4° قرار گرفته است. گروه Kiel در انتساب بهمن های مشاهده شده به دوتایی CYG-X3 به دو مدرک غیر قابل تردید استناد می کند: ۱. نوع آشکارسازهای Kiel که در مجموع دقتی بهتر از 1° مهیا می کند و ۲. دوره ای تناوب 4.8 hr مشاهده شده در این بهمن ها که در توافق کامل با دوره ای تناوب دوتایی CYG-X3 بددت آمده از رصدهای پرتو X است. گروه Kiel به این نکته اشاره میکند که برای افزایش دقت در تحلیل داده های رصدی خود، فقط داده های مربوط به زوایای کمتر از 30° را مورد بررسی قرار داده است. در مدت کوتاهی پس از انتشار نتایج گروه Kiel، گروه Haverah-Park در نتایج رصدهای خود، نتایج گروه Kiel را مورد تایید قرار میدهد⁶ و⁷. رصدخانه ای گروه Haverah-Park با دقت 2.5°، در انگلستان در عرض جغرافیایی N 54° و در ارتفاع 198 m از سطح دریا قرار دارد. با تایید نتایج دقیق و عجیب گروه Kiel توسط رصدهای گروه Haverah-Park، از آن زمان به بعد گروه های دیگری در صد رصد CYG-X3 با آرایه های زمینی و زیرزمینی پرآمدند که مهمترین آنها، نتایج دو گروه SOUDAN-1⁸ و NUSEX⁹ است که در تناقض آشکار با نظریه های مربوط به فیزیک انرژی های زیاد به نظر می آیند.

آزمایش SOUDAN-1 در عمق 1800 hg/cm^2 درون زمین با عرض جغرافیایی N 48° و دقت زاویه ای 1.4°، در بررسی داده های خود از Sep 1981 تا Nov 1983 متوجه یک شار اضافی از سمت CYG X-3 به Phase میزان $7 \times 10^{-11} \text{ cm}^{-2} \text{s}^{-1}$ شود. جهت شار ورودی و همدوسي فاز (coherence) موجود در بهمن ها که همخوانی کاملی با دوره تناوب 4.8 hr CYG X-3 دارد، ثابت می کند که منشا ذرات آغازگر، حتما همین دوتایی است. با توجه به همدوسي فازی مشاهده شده در بهمن ها و فاصله ای دوتایی از زمین که در حدود 10 kPc تخمین زده می شود، این گروه نتیجه میگیرد که سرعت ذرات اولیه، دستکم باید $c(1-10)^{-9}$ باشد. نظر به حضور میدان مغناطیسی کهکشانی که به میزان قابل توجه می تواند در جهت حرکت ذرات باردار تاثیر بگذارد و توجه به اینکه مسیر ذرات آغازگر این بهمن ها در طول این مسیر طولانی تغییر نکرده است، می توان نتیجه گرفت که این ذرات حتما از لحاظ الکترونیکی خنثی باید باشند. نسبت دادن ذرات آشکارسازی شده در آشکارگرهای زیرزمینی SOUDAN-1 به میون ها بر پایه ای دو دلیل است: ۱. عمق زیاد آشکارگرها در زیر زمین که باعث میشود فقط میون ها بتوانند به آنها برسند و ۲. مسیر مستقیمی که این ذرات بدون برهمکنش چشمگیر با محیط در آشکارگرها طی میکنند. با در نظر گرفتن این حقایق و محاسبه ای محتوای میونی، مشاهده میشود که مشخصات ظاهری بهمن ها با بهمن های هادرونیک تطابق دارد. نکته ای مهم دیگر در مشاهدات این گروه آن است که شار اضافی دیده شده از طرف CYG X-3 فقط در

زواياي سرسويي بيشتر از 66° مشاهده ميشود. با توجه به نتایج داده ها، اين گروه چند کانديد برای ذره اوليه اين بهمن ها معرفی ميکند:

1. Neutron: اگر ذره اوليه، يك نوترون آزاد باشد، دستكم

باید $10^{18} ev$ انرژي داشته باشد تا قبل از اينكه طول عمر آن تمام شود بتواند به سطح زمين برسد و آشكار شود. شار ذرات کيهاني با چنيين انرژي، برای آشكارگرهای SOUDAN-1 در حدود 1 ذره در سال خواهد بود. بنابراین نوترون به عنوان ذره اوليه تا حدی نامحتمل به نظر می رسد. در ضمن در صورت قبول اين فرضيه، مکانيسم شتاب گيري نوترون تا چنيين انرژي زيادي ناشناخته باقی خواهد ماند.

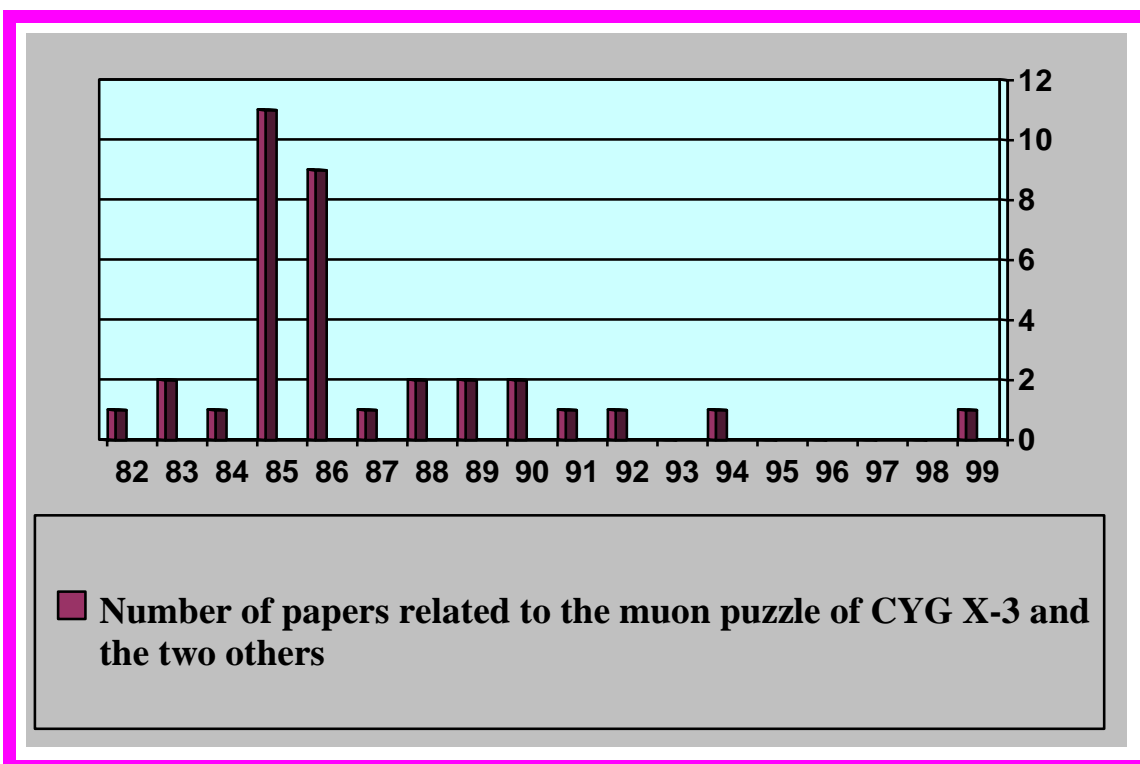
2. Neutrino: اين ذره نمی تواند کانديد خوبی برای ذره اوليه باشد، چون در صورت قبول آن، بدليل سطح مقطع اندركنش کم اين ذره با ماده، شار اضافي مشاهده شده نباید به زاويه سرسويي بستگي داشته باشد. در صوريکه در زاويه هاي سرسويي کوچک، هيج شار اضافي از طرف CYG X-3 ثبت نشه است.

3. Photon: اين ذره می تواند کانديد خوبی برای ذره ای آغازگر بهمن باشد، ولی در اين صورت محتواي ميوني داده هاي رصدی با محتواي ميوني که از نتایج نظری برای بهمن هاي گاما بدست می آيد همخوانی نخواهد داشت. در واقع محتواي ميوني بهمن هاي ثبت شده يك مرتبه ای بزرگی بيشتر از محتواي ميوني محاسبه شده برای بهمن هاي گاما است و داده ها بيشتر مشخصات بهمن هاي هادرونيک را دارند تا بهمن هاي گاما.

4. CYGNET: در نهايت Marshak به اين نتیجه می رسد که ذره ای آغازگر، باید يك ذره ای ناشناس و خنثی باشد که اين ذره ای فرضی بعدها توسط $^{10}Baym$ به CYGNET معروف می گردد.

در نهايت می توان گفت که داده هاي SOUDAN-1 تاييدی است بر نتایج گروه Kiel، ولی با ميون هاي بسيار پرانرژي تر و شاري با سه مرتبه ای بزرگی بيشتر از شار گزارش شده از Kiel. مدت کوتاهی بعد از ارائه نتایج SOUDAN-1، باتيستونی و ديگران⁹ (1985) نتایج آزمایش NUSEX را در تاييد مشاهدات آزمایش NUSEX ارائه می کنند. آشكارگرهای NUSEX که در عمق $4600 hg/cm^2$ در ايطاليا واقع شده و دقتی در حدود 1.2° دارند، يك شار اضافي از سوي CYG X-3 در طول سالهای 1982 تا 1985 ثبت کرده اند. نکته ای مهمی که در مشاهدات اين گروه هم وجود دارد، محتواي ميوني زيار بهمن هاي ثبت شده است. سوالی که وجود دارد آن است که اين ميون ها در اثر برهمکنش ذرات ثانوي در درون صخره ها بوجود آمده اند و يا اينکه منشا آنها در اتمسفر زمين است. با توجه به بستگي تعداد ميون ها به عمق، نتیجه می شود که منشا اين ميون ها قطعا برهمکنش نوتريينو در درون صخره ها نبوده است، چرا که در اين صورت تعداد ميون هاي ثبت شده در همه ای عمق ها يکسان می بود. باتيستونی با تاييد مشاهدات SOUDAN-1 نتیجه

گیری می کند که این بهمن ها باید بر اثر برهمکنش یک ذره خنثی ناشناخته با سطح مقطع زیاد برای تولید میون بوجود آمده باشند. در طول مدت کوتاهی بعد از این مشاهدات (1985-1991) عده‌ی بسیاری از فیزیکدانان تلاش های گسترده‌ای را برای توضیح این مشاهدات در چارچوب قوانین استاندارد فیزیک شروع می کنند و حتی به مدل سازی برای ذره‌ی فرضی CYGNET می پردازند. نمودار زیر نشان دهنده‌ی مجموعه مقالاتی است که در دهه‌ی 80 و 90 میلادی در رابطه با این مشاهدات منتشر شده است.



در میان این مقالات حتی برخی همانند ³Stanev, Gaisser, Halzen (1985) و ¹¹Edwards (1985)، نتایج عجیب این مشاهدات را به وجود خطاهای سیستمیک در آشکارگرها از جمله SOUDAN-1 و Kiel نسبت داده‌اند. ¹²Barnhill و دیگران (1985) پیشنهاد کرده‌اند که Cygnet میتواند یک ذره کوارکی باشد. ولی مدل آنها برخی از جنبه‌های مشاهدات را نمیتواند توضیح دهد از جمله گسترده‌گی زاویه‌ای زیادی که در سیگنال‌های دریافتی در آشکارگرهای زیرزمین مشاهده شده است. ¹³Stenger (1985) Photino (همتای ابرمتقارن فوتون) را به عنوان کاندیدی برای Cygnet معرفی می‌کند. با این حال ¹⁴Berezinski (1986) نشان میدهد تمامی مدل‌هایی که تاکنون برای Cygnet ارائه شده اند از جمله مدل Stenger، مشکلات بسیار دارند و ناکامل‌اند. ¹⁵Ruddick (1986) مدلی را ارائه می‌دهد که در آن تمامی جنبه‌های مشاهدات قابل توضیح است. در مدل وی، یک ذره ناشناخته خنثی و با طول عمر زیاد با برهمکنش در اتمسفر زمین منجر به تولید ذره‌ی ثانوی سنگین با جرمی بین 10-40 GeV می‌گردد و این ذره با تولید دستکم یک میون در بالای سطح زمین شار دیده شده در آشکارگرهای زیرزمینی را تولید می‌کند. با این حال مدل Ruddick

نیز خالی از اشکال نیست، همانطور که Vander Velde¹⁶ نیز به آن اشاره کرده است. از جمله اینکه با در نظر گرفتن سطح مقطعی که Cygnet برای Ruddick¹⁷ ارائه می کند باید بتوان این ذره را در شتاب دهنده ها آشکارسازی کرد، در صورتیکه تاکنون چنین نبوده است. اندکی بعد، Collins و Olness¹⁸ (1987) سعی می کنند در مدلی Photino را به عنوان Cygnet معرفی کنند، هر چند تلاش آن ها نیز برای توضیح همه ی جنبه های رصدی بی نتیجه می ماند. از جمله آخرین تلاش ها برای توضیح تنافق نمای CYG X-3، مقاله ای Aharonian¹⁹ (1992) است که در آن استدلال می کند که ذره آغازگر این بهمن ها می توانند نوترونها یا فوتون های بسیار پرانرژی باشند و پیشنهاد می کند میون های تراالکترون ولتی مشاهده شده در زیرزمین ناشی از برهمکنش این ذره ای اولیه در اتمسفر زمین و تولید یک ذره ای واسطه ای بسیار سنگین به جرم TeV 1 و عمر تقریبی $1\mu s$ هستند. گرچه مدل وی قابل قبول به نظر می رسد، ولی منشا و ماهیت ذره ای واسطه ای بسیار سنگین به صورت یک سوال بی پاسخ باقی می ماند.

با توجه به اینکه تا اواسط دهه ۹۰ میلادی دیگر هیچ گزارش جدیدی از محتوای میونی عجیب بهمن هایی که از سوی CYG X-3 مشاهده می شدند دریافت نمی شود، Godbole²⁰ (1994) محتوای میونی زیاد مشاهده شده در آزمایش های قبلی را به ساختار هادرتونی فوتون نسبت می دهد و پیشنهاد می کند که اگر این تنافق ها در آزمایش های آینده مشاهده نشوند، می توان آنها را به عدم قطعیت در محاسبه ای سطح مقطع $\sigma_{\gamma p}^{tot}$ نسبت داد.

در نهایت و به عنوان نتیجه ای کلی می توان گفت که همه ی مدل های ارائه شده، مشکلات عدیده ای در توضیح کامل این پارادوکس و ماهیت ذره ای آغازگر دارند و بیشتر آن ها پرتو ۶ را به عنوان ذره ای آغازگر رد می کنند و حتی برخی با استناد به داده های دیگر رصدخانه ها همچون Kamioka²¹ و Baksan²²، سعی در اشتباہ و کم اهمیت جلوه دادن نتایج رصدی SOUDAN-1 و NUSEX می کنند. بعد از تقریبا یک دهه تحقیق و تلاش برای حل معماه CYG X-3 و یافتن Cygnet²³، جامعه ای فیزیک بدون رسیدن به نتیجه و راه حلی مناسب برای این معما آن را رها می کند.

آخرین تلاش برای حل این معما که امیدوارکننده تر از نظریه های قبلی برای حل این پارادوکس است، در بیست و ششمین گردد همایی ICRC در سال 1999 توسط دکتر صمیمی و دکتر بهمن آبادی از دانشگاه صنعتی شریف ارائه شد که در آن منشا ذرات آغازگر بهمن ها پرتوهای گاما بسیار پرانرژی در نظر گرفته شده اند که به خاطر وجود اثر LPM (Landau-Pumeranchuk-Migdal)، شکل بهمن های ایجاد شده توسط آن ها، با مشخصات کلی بهمن های گاما می تواند تفاوت داشته باشد. این تفاوت ها می توانند سرچشمه ای نتایج عجیبی باشد که از تحلیل مشاهدات بهمن های آینده از سوی CYG X-3 بدست آمده است. در ادامه به توضیح بیشتر این اثر و همچنین اثر میدان مغناطیسی زمین (GMF) بر این گونه بهمن ها می پردازیم.

اثر LPM:

در سال 1953 لانداو و پومرانچوک و در سال 1956، میگdal²³ با فرمولبندی مکانیک کوانتمی نشان دادند که در محیط های بسیار چگال و در انرژیهای بسیار بالا (VHE)، سطح مقطع تابش ترمزی الکترون و تولید زوج الکترون-پوزیترون بوسیله فوتون نسبت به سطح مقطع بتنه-هیتلر کاوش درخور توجهی می یابند. از آن زمان تاکنون، این اثر برای محیط های مختلف مانند آب، سرب، صخره استاندارد و یخ و همچنین برای جو توسط گروههای زیادی مطالعه شده است. هدف اصلی این مقاله، بررسی نحوه تاثیر این پدیده بر تولید مستقیم زوج ذره میون و در نتیجه آن، افزایش محتوای میونی بهمنهای هوایی ناشی از پرتوهای γ به غایت پرانرژی است که در ادامه به آن می پردازیم.

اثر LPM بر تولید زوج میون

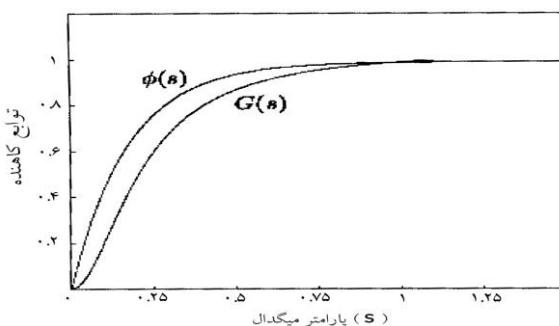
بر اساس نظریه بتنه-هیتلر سطح مقطع تولید زوج میون با نسبت $\approx 2.3 \times 10^{-5} m_e^2 / m_\mu^2$ از سطح مقطع تولید الکترون و با نسبت دو مرتبه بزرگی از سطح مقطع تولید فوتونی میون (ناشی از واپاشی پایونها و کائونها) کوچکتر است.³ با در نظر گرفتن اثر LPM میتوان نشان داد که برای میونهای با انرژی TeV به بالا، تولید مستقیم زوج میون در جو بر تولید فوتونی میون پیشی میگیرد. برای محاسبه سطح مقطع تولید زوج میون می توان از محاسبات میگdal²³ که برای الکترون انجام داده بود، استفاده کرد. البته در محاسبات میگdal جرم الکترون واحد گرفته شده است. با بازنويسي معادلات بر حسب جرم الکترون، احتمال تولید یک زوج ذره با جرم m در واحد طول یک محیط با چگالی ρ ، عدد اتمی Z و جرم اتمی A ، توسط فوتونی با انرژی E بدست می آید:

$$(W_P)_{LPM} dv = (4\alpha Ne^4 / 3m_e c^4)(m_e/m)^2 [(\rho Z^2 / A) \ln(190/Z^{1/3})] \times \xi(s) \{G(s) + 2[v^2 + (1-v)^2]\phi(s)\} dv \quad (1)$$

که در آن α ثابت ساختار ریز، N عدد آووکادرو، e بار الکترون، v سهمی از انرژی که بوسیله یکی از دو ذره حمل می شود، و s پارامتر بدون بعدی است که با $E^{-1/2}$ رابطه مستقیم دارد:

$$s = (\alpha n_e^4 c^8 / 128\pi N e^6)^{1/2} (m/m_e)^2 [(\rho Z^2 / A) \ln(190/Z^{1/3})]^{-1/2} \times [v(1-v)E]^{-1/2} [\xi(s)]^{-1/2} \quad (2)$$

$\Phi(s)$ و $G(s)$ که معروف به توابع کاهنده و عامل کاوش $(W_P)_{LPM}$ در انرژی های زیاد هستند، محاسبه شده و در شکل (1) آورده شده اند. $\xi(s)$ نیز تابعی از s است که در معادله (3) بیان شده.



$$\begin{aligned} s \leq s_1 &\rightarrow \xi(s) = 2 \\ s_1 \leq s \leq 1 &\rightarrow \xi(s) = 1 + \ln s / \ln s_1 \\ 1 \leq s &\rightarrow \xi(s) = 1 \\ s_1 &= (Z^{1/3}/190)^2 \end{aligned} \quad (3)$$

شکل (1): نمودار توابع کاهنده بر حسب پارامتر میگdal

همانطور که از شکل (1) مشخص است با افزایش انرژی و در نتیجه کاهاش s مقدار توابع کاهنده به سمت صفر می‌گراید. در حالت حدی $s \rightarrow \infty$ ، که به معنای انرژیهای بسیار کم است، $\Phi(s)$ و $G(s)$ به مقدار حدی 1 نزدیک می‌شوند و اثرهای کاهشی از بین رفته و معادله (1) شبیه به معادله سطح مقطع بته-هیتلر می‌شود. در این حالت

$$(W_\mu/W_e)_{LPM} = (W_\mu/W_e)_{BH} = (m_e/m_\mu)^2 \quad (4)$$

ولی در انرژیهای بالاتر،

$$E \rightarrow \infty \Rightarrow (W_\mu/W_e)_{LPM} \rightarrow 1 \quad (5)$$

در شکل (2)، احتمال کل تولید زوج ذره میون و الکترون با در نظر گرفتن اثر LPM برای سه محیط مختلف آب، هوا در سطح دریا و صخره‌ی استاندارد، برحسب انرژی اولیه رسم شده است. میتوان مشاهده کرد که شروع کاهش سطح مقطع برای الکترون در محدوده PeV تا EeV اتفاق می‌افتد، در صورتیکه شروع کاهش سطح مقطع برای تولید مستقیم میون در انرژیهای $10^{24} - 10^{28} eV$ است.

اثر LPM بر محتوای میونی بهمن‌های هوایی

محاسبات بخش قبل برای تولید مستقیم میونها انجام شد. در حالیکه این میون‌ها در محدوده انرژی EeV و کمتر، سهم کمی در تعداد میونهای بهمن هوایی ناشی از پرتوهای گاما دارند. مقدار قابل توجهی از میونهای با انرژی GeV در بهمن‌های گاما، توسط تولید فوتونی حاصل می‌شوند. سطح مقطع تولید این میونها، $\sigma_{\mu\gamma}$ ، از 1.4mb برای انرژی فرودی 10GeV، با افزایش انرژی به شکل لگاریتمی افزایش می‌یابد. اگر نسبت سطح مقطع تولید این میونها به سطح مقطع تولید زوج e^+e^- ، σ_{e^\pm} ، را R بنامیم میتوان نشان داد²⁴:

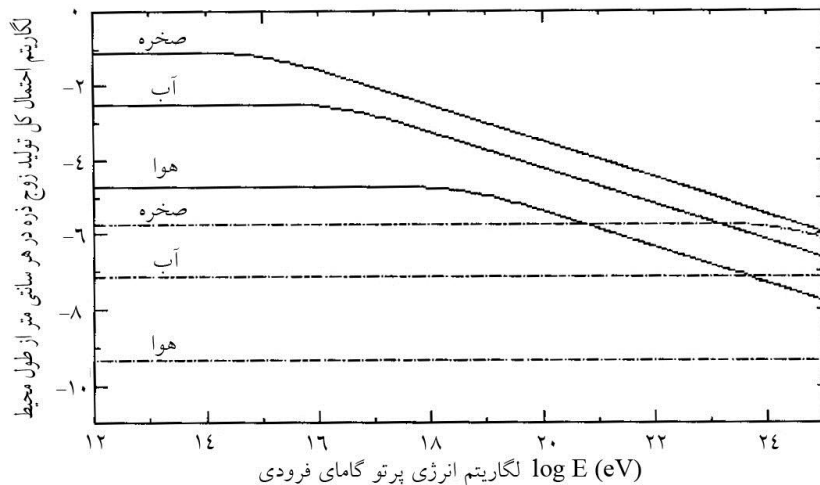
$$R(E) = \sigma_{\mu\gamma}/\sigma_{e^\pm} \rightarrow R(E \approx 10GeV) \approx 1.4/500 : N_\mu^\gamma \approx R \times \ln(E/1GeV) \times N_\mu^P \quad (6)$$

N_μ^P و N_μ^γ به ترتیب تعداد میونهای گاما و هادرone میتوانند. با افزایش انرژی به بیش از انرژی آستانه اثر LPM برای الکترون‌ها، σ_{e^\pm} تحت اثر LPM کاهش می‌یابد، در حالیکه $\sigma_{\mu\gamma}$ به شکل لگاریتمی افزایش می‌یابد تا جاییکه $N_\mu^\gamma \approx N_\mu^P$. با این فرض میتوان انرژی آستانه برای یکسان شدن تعداد میونها در هر دو نوع بهمنهای هادرone و گاما را از معادله (6) بدست آورد:

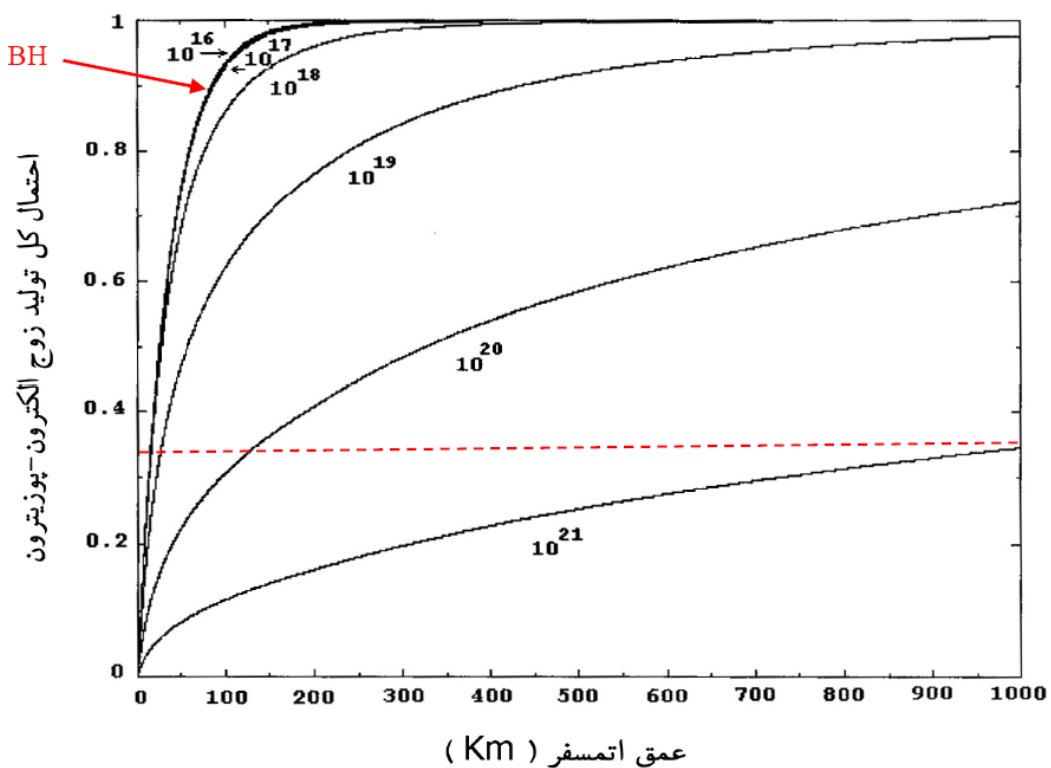
$$N_\mu^\gamma \approx N_\mu^P \rightarrow (\sigma_{e^\pm})_{LPM} \approx (1/2)\sigma_{\mu\gamma}(E=10GeV) \times \ln(E/10GeV) \times \ln(E/1GeV) \quad (7)$$

انرژی محاسبه شده برای هوا و صخره‌ی استاندارد بترتیب برابر 10EeV و 200PeV بdst می‌آیند. به این ترتیب انتظار می‌رود در انرژی‌های گفته شده و بیشتر، محتوای میونی بهمن‌های گاما و هادرone یکسان باشند. بنابراین این پدیده می‌تواند توپیخی برای محتوای میونی زیاد مشاهده شده در بهمن‌هایی باشد که در جهت CYG X-3 در دهه هشتاد میلادی، ابتدا توسط سامرنسکی و لوید-

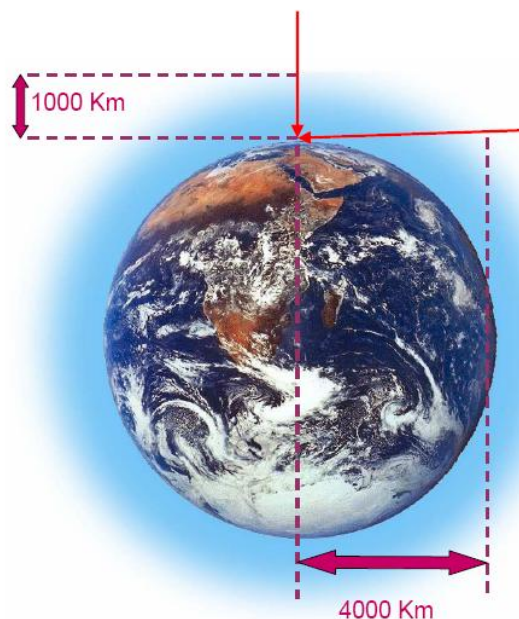
وانس در رصدهای روی زمین و سپس توسط مارشاک و باتیستونی در رصدهای زیر زمین گزارش شدند. شکل (3) احتمال کل تولید زوج الکترون با در نظر گرفتن اثر LPM برای انرژیهای مختلف پرتو گاما را به عنوان تابعی از عمق نفوذی فوتون گاما در اتمسفر زمین نشان می دهد. توجه کنید که در انرژی های کمتر از 10^{16} eV که اثر LPM نقشی در تکامل بهمن ندارد، شکل منحنی مربوط، شبیه به منحنی ای می شود که از محاسبات نظریه BH (Bethe-Heitler) بدست می آید. از نمودار مشخص است که یک فوتون با انرژی 10^{21} eV ، با احتمال 65% بدون برهمکنش، به صورت عمودی می تواند تا سطح دریا (1000 gr/cm^2) در اتمسفر زمین نفوذ کند. اگر این فوتون در زاویه های سرسویی زیاد بر اتمسفر فرود بیاید، در آن صورت در درون اتمسفر مسافتی تقریبا به اندازه 8 برابر حالت قبلی را طی می کند (شکل 4) و احتمال برهمکنش برای چنین فوتونی و در نتیجه تشکیل یک بهمن گستردگی هوایی بسیار بیشتر خواهد بود. این موضوع می تواند بستگی شار اضافی مشاهده شده در بهمن هایی که از سوی CYG X-3 می آمدند را در آزمایش های SOUDAN-1، NUSEX و همچنین مشاهدات یک گروه ژاپنی از CYG X-3 را ²⁵ به خوبی توضیح دهد.



شکل (2) : احتمال کل تولید زوج الکترون (خط پر) و تولید زوج میون (خط چین)
برای انرژیهای مختلف پرتو ۷ فرودی بر محیط



شکل (3) : احتمال کل تولید زوج الکترون با در نظر گرفتن اثر LPM برای انرژیهای مختلف پرتو گاما به عنوان تابعی از عمق نفوذی فوتون در اتمسفر زمین.



شکل (4) : مسافت های مختلفی که بوسیله یک فوتون به غایت پرانرژی در اتمسفر زمین به ازای دو زاویه ای سرسویی ۰ و ۹۰ درجه می تواند طی شود.

اثر میدان مغناطیسی زمین (GMF) بر بهمن های هوایی

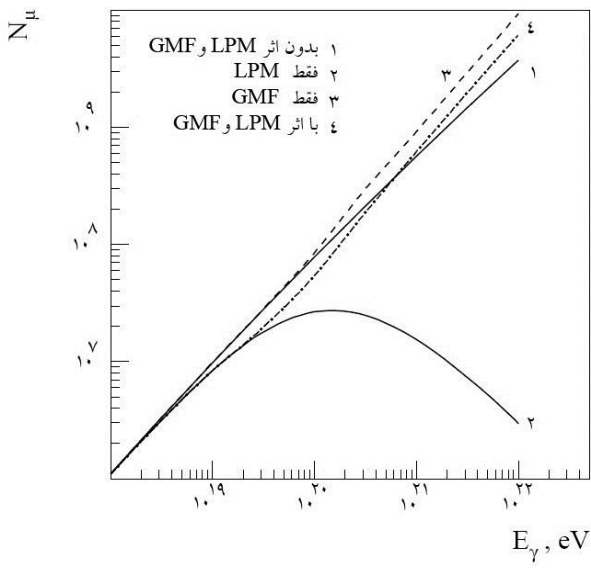
Erber²⁶ (1966) نشان داده است که پرتوهای گامای پر انرژی در شرایط ویژه ای می توانند با میدان مغناطیسی برهمکنش داشته باشند. آهارونیان²⁷ با بررسی این برهمکنش برای فوتونهای به غایت پرانرژی (EHE) فرودی بر جو زمین، نشان داده است که از برهمکنش میدان مغناطیسی زمین با یک پرتو گامای EHE، مجموعه ای از زوج الکترونها حاصل میشوند که آنها نیز بر اثر تابش سینکروترون، فوتون های پرانرژی تولید میکنند. در نهایت می توان گفت که یک پرتو گامای EHE ($E > 10\text{EeV}$) که انرژی آن بسیار بالاتر از انرژی آستانه LPM برای الکترون است، قبل از آنکه وارد جو شود، به باریکه ای از پرتوهای گاما که انرژی بسیار پایینتر از انرژی آستانه LPM دارند ($E \approx 10\text{PeV}$)، تبدیل می شود (شکل 5). در نتیجه اثر LPM در بهمن ایجاد شده دیگر نقشی نخواهد داشت و محتوای میونی بهمن و دیگر مشخصات آن به حالت اولیه (بدون حضور اثر LPM) باز میگردد. البته احتمال این برهمکنش به مقدار مولفه عمود میدان بر جهت پرتو گاما و مسافتی که فوتون در میدان طی میکند بستگی دارد. طول پویش آزاد برای فوتونی با انرژی $E_\gamma \approx 10^{20}\text{eV}$ در میدان مغناطیسی که $B_\perp \approx 0.4G$ را از رابطه زیر می توان محاسبه کرد²⁷:

$$\Lambda_\pm \approx 10^6 (B_\perp / 1G)^{-1} \approx 10^6 \text{cm} \quad (8)$$

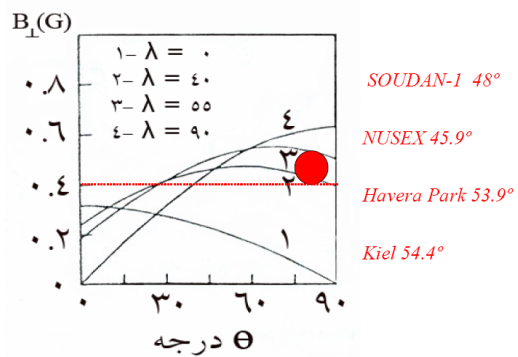
طول پویش آزاد بدست آمده تقریبا سه مرتبه بزرگی از مسافتی که میدان مغناطیسی زمین به طور محسوس وجود دارد، کوچکتر است. بنابراین برای انرژیهای بیش از 10EeV و $B_\perp \approx 0.4G$ ، اثر GMF نباید نادیده گرفته شود. در شکل (6) مقدار B_\perp برای عرضهای جغرافیایی و زاویه های سمت الراسی مختلف رسم شده است. می توان دید که برای عرضهای جغرافیایی غیر صفر و زوایای سمت الراسی زیاد، مقدار B_\perp از $0.4G$ بیشتر می شود. در شکل (7) نتایج شبیه سازی بهمن های هوایی گاما و محاسبه تعداد میون ها برای انرژیهای مختلف فرودی در چهار حالت ترکیبی اثر LPM و GMF رسم شده است.²⁸



شکل (4): تصویری ساده از آنچه که برای فوتون های به غایت پرانرژی در مگنتوسفر زمین اتفاق می افتد.



شکل (7)



شکل (6): B_{\perp} بر حسب جهت فوتونهای فرودی برای چهار عرض جغرافیایی ۰، ۴۰، ۵۵ و ۹۰ درجه. مکان تقریبی (عرض جغرافیایی) رصدخانه های SOUDAN-1، NUSEX، Haverah Park و Kiel رنگ قرمز بر روی نمودار مشخص شده است.

از شکل (6) پیداست مکان رصدخانه هایی که در رصد CYG X-3 استفاده شده اند، در نزدیکی منطقه ای قرار دارند که مرز شروع اثر GMF به طور چشمگیر بر بهمن های هوایی است. بنابراین انتظار می رود اثر LPM در مشاهدات این رصدخانه ها هنگامی قابل رویت باشد که زاویه سرسویی ذرات آغازگر بهمن های هوایی، بسیار کم و یا بسیار زیاد (مانند آنچه که در مورد مشاهدات SOUDAN-1 و NUSEX وجود دارد) باشد.

نتیجه گیری

مشاهدات رصدخانه های SOUDAN-1، Haverah Park، NUSEX و Kiel در راستای دوتایی CYG X-3، محتوای میونی غیرعادی بهمن های رصد شده در این راستا و همچنین نظریه های ارائه شده برای حل این پارادوکس در دهه های ۸۰ و ۹۰ میلادی را مورد بررسی قرار دادیم. نشان دادیم یک راه حل احتمالی این پارادوکس می تواند در نظر گرفتن فوتون های به غایت پرانرژی به عنوان ذره ای آغازگر این بهمن ها باشد و به دنبال آن اثر LPM بر تولید مستقیم زوج میون و بر محتوای میونی بهمنهای ناشی از فوتونهای به غایت پرانرژی را بررسی کردیم. همچنین نشان دادیم که در محدوده ای EHE و بالاتر، با در نظر گرفتن اثر LPM، محتوای میونی بهمنهای هادرونی و بهمنهای گاما، قابل مقایسه خواهند بود. علاوه بر این، برهمکنش میدان مغناطیسی با فوتون به غایت پر انرژی فرودی می تواند در رقابت با اثر LPM، آن را خنثی کرده و ویژگیهای بهمنهای ناشی از فوتون های کم انرژی را نتیجه دهد. با توجه به اینکه اثر GMF، به زاویه فرودی فوتون و عرض جغرافیایی محل بستگی دارد، باید هر دو اثر LPM و GMF را در محاسبات در نظر داشت. بنابراین راه حل ارائه شده در این مقاله در مورد مشاهداتی رصدخانه های مذکور در دهه ۸۰ میلادی در راستای CYG X-3 داشته اند، تنها در صورتی قابل قبول خواهد بود که به نحوی

بتوانیم نشان دهیم میدان مغناطیسی زمین با فوتون های آغازگر این بهمن ها برهمکنش چشمگیری نداشته است. البته این موضوع با توجه به شکل (6) و عرض جغرافیایی این رصدخانه ها و همچنین زاویه سرسویی زیادی که این بهمن ها به هنگام رصد داشته اند (به ویژه برای SOUDAN-1 و NUSEX)، چندان دور از واقعیت به نظر نمی آید.

مرجع ها

1. Dzikowski, T., et al, 1981, Proc. 17th Int. Cosmic Ray Conf. (Paris), **1**, 8
2. Hayashida, N., et al, 1981, Proc. 17th Int. Cosmic Ray Conf., (Paris) , **9**, 9
3. Stanev, T., Gaisser, T.K, Halzen, F., 1985, Phys. Rev. D, **32**, 1244
4. Dzikowski, T., et al, 1983, J. Phys. G: Nucl. Phys., **9**, 459
5. Samorsky, M., Stamm, W., 1983, Proc. 18th ICRC, Bangalore, India, **11**, 244
6. Lloyd-Evans, J., et al, 1983, Nature, **305**, 784
7. Lambert, A., et al, ICRC 1985, **1**, 71L
8. Marshak, M.L., et al, 1985, Pys. Rev. Lett., **54**, 2079
9. Battistoni, G., et al, 1985, Phys. Lett., **155B**, 465
10. Baym, G., et al, 1985, Phys. Lett., **160B**, 181
11. Edwards, P.G., Protheroe, R.J., Rawinski, E., 1985, J. Phys. G, **11**, L101
12. Barnhill, M.V., et al, 1985, Nature, **317**, 409
13. Stenger, J.V., 1985, Nature, **317**, 411
14. Berezinsky, V.S., Ellis, J., Ioffe, B.L., 1986, Phys. Lett., **155B**, 465
15. Ruddick, K., 1986, Phys. Rev. Lett., **57**, 531
16. Vander Velde, J.C., 1986, Phys. Rev. Lett., **57**, 2872
17. Collins, J., Olness F., 1987, Phys. Lett., **187B**, 376
18. Aharonian, F.A., Atoyan, A.M., 1992, J. Phys. G:Nucl. Part. Phys., **18**, 1269
19. Godbole, R.M., 1994, arXive:hep-ph/9407205 v1
20. Andreyev, Y.M., et al, 1987, Sov. Phys-JETP 44, 401
21. Oyama, Y., et al, 1986, Phys. Rev. Lett., **56**, 991
22. Berger, Ch., et al, 1986, Phys. Lett. B, **174**, 118
23. Migdal, A.B., 1956, Phys. Rev. **103**, 1811
24. Gaisser, T.K., 1990, Cosmic Rays and Particle Physics, Cambridge University Press
25. Yamashita, Y., et al, 1996, Nucl. Inst. And Methods, **A374**, 245
26. Erber, T., 1966, Rev. Modern Phys., **38**, 626
27. Aharonian, F.A., et al, 1991, J. Phys. G, **17**, 1909
28. Plyasheshnikov, A., Aharonian, F.A., 2003, Nuc. Phys. B, **122**, 267